

### III-6 水路急拡部における流速分布特性

京都大学工学部 正員 工博 岩佐義朗  
京都大学大学院 正員 ○ 志方俊之

著者らは水路中が急激に拡大した水路における定常流の水理学的性状、とくにその縦断水面形状、流速分布について実験的研究を行つた。急拡部における急激な遷移現象は流量、こう配、粗度、断面拡大比、フルード数などによつて異なつた流れの状況を呈する。上流側水路の流れが常流および射流の場合、これに不連続に接続する中の広い下流側水路の流れは、上記の各要因ならびに下流における条件によつてつきに示すように分類される。

- (1) 常流 → 常流  
(2) 常流 → 射流

- (3) 射流 → 常流  
(4) 射流 → 射流

(1), (4) のように流れの条件が急拡部をはさんで変化しない場合については、従来、各方面で実験的研究がなされている。しかしながら、ある条件のもとでは、急拡部近傍にあへて常流から射流に遷移し、さらに跳水により常流に遷移する流れが現れる。これは(2)や(3)の場合と異なり、(1)の場合における急拡部近傍の局所的水理現象である。一般に圧力分布と静水圧分布、流速分布を一様な開水路のそれとみなして、急拡部における運動量関係より損失水頭や水面形が論ぜられてゐるが、実際の流れとは異なるから、こうした局所的現象はさらに詳細な実験によって検討を加えなければならぬ。

そこで、こう配  $1/500$ 、Manningの粗度係数が  $n=0.011$  (m sec) の実験水路に拡大比2の急拡部を作り、上記の遷移過程があらわれれる各種の流量につき、その水面形および流速分布を測定した。水面形は白金線抵抗計、ペニオシロ、および poiney トゲージを併用し、流速分布は軸方向についてはピト管、中方向についてはストロボ装置による流跡撮影により測定を行はた。

図-1は急拡部における等流速線図の一例を示すものであるが、深さ方向、および中方向の流線の弯曲により、流れは左右両壁面附近の底部に集中している。しかししながら、水路中央部の流速分布は  $\bar{U}_a \sim \log \frac{U_a z}{D}$  の一例を示す図-2からもわかるように、ほぼ対数分布を示すことがみられる。

急拡部の影響が上流側水路との間に何らかのはづかずかは。

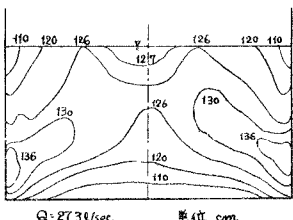


図-1

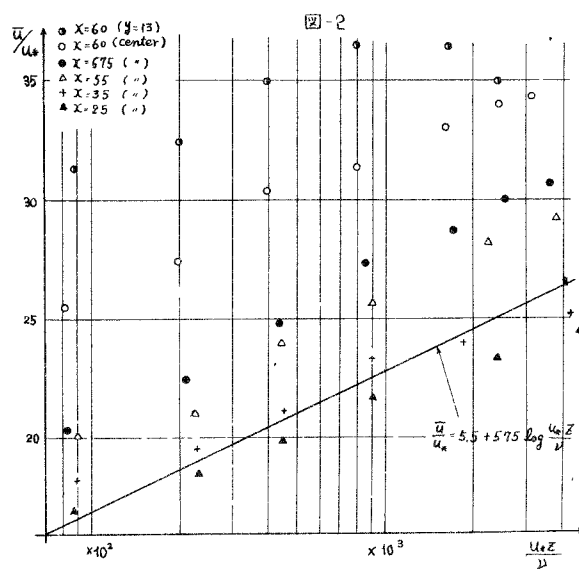


図-2 より急拡部上流  $x_B = 1 \sim 2$  附近からであり、上流側水深が限界水深に達する附近(図-4 参照)からであることがわかる。

中方向の流速分布については、遷移過程が先に述べた(1)の場合、急拡部における流速分布は上層、下層ともほぼ同様であり噴流における理論値と非常によく合致するが常流→射流→常流の遷移過程の場合は上層部と下層部ではその分布が異なり、急拡部上流側においては、上層部では一様な開水路のそれと同様に側壁近傍を除いて、ほぼ一様な分布を示すが、下層部では水路中央部より離れた両側の流速が大きくなり、凹形を示す。急拡部においては、上下層ともに中央部が凹となる分布を示す。跳水後、常流に復した流れの流速分布は急拡部における搅乱の影響により、一様な分布に復するためには相当長い流下距離を必要とし、本実験水路では流路末端で見受けられるに過ぎなかつた。図-3は以上の流速分布の傾向を模型測定に示したものである。

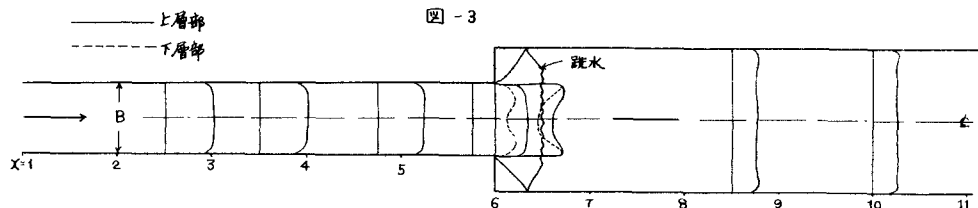


図-3

流速分布の傾向は上に示したとありであるが、損失水頭の算定などの実用上の目的から、エネルギーと運動量に対する補正係数の流れ方向の分布を調べると図-4に示すようになる。図-4に示した例からわかるように上流側水路において急拡部の影響があらわれはじめる附近での値は一度減少し、 $d_B$

急拡部下流  $x_B = 0.5$  附近で急激に増大して最大値となりその後漸次減少する。

この実験結果は異常に遷移過程のものと行はれ灰芦田博士や Formula の実験と同様な傾向を示している。

したがて、急拡部の前後に於いて運動量の関係を吟味する際、このような補正係数の分布を考慮に入れることが不可欠となるべく。著者らは現在さらに多くの実験と重ね、遷移過程の分類やエネルギー損失の解明を行なっているが、こうした実験結果については、ヒリオトメ講演時に紹介する予定である。なお本研究を遂行するにあたり、謹んで御懇意な指導を賜、又石原勝次郎教授へ厚く感謝の意を表す。

図-4

